

Schreibe \vec{p}_1 -Integration in Kugelkoordinaten aus \vec{q}_1

$$\begin{array}{l} \vec{p}_1 \\ \theta \\ \varphi \end{array} \quad d^3\vec{p}_1 = g^2 ds \, d\Omega, \quad s = |\vec{p}_1| \\ ds = \sin\theta \, d\theta \, dy$$

substituiere $s \rightarrow E := \sqrt{m_1^2 + g^2} + \sqrt{m_2^2 + g^2}$ in Radialintegration

$$\Rightarrow dE = \left(\frac{1}{2\sqrt{m_1^2 + g^2}} + \frac{1}{2\sqrt{m_2^2 + g^2}} \right) 2g ds = E \frac{g \, ds}{\sqrt{m_1^2 + g^2} \sqrt{m_2^2 + g^2}}$$

$$\text{und } g(E) = \frac{1}{2E} \sqrt{E^4 - 2E^2(m_1^2 + m_2^2) + (m_1^2 - m_2^2)^2}$$

$$(\text{denn: } E^2 = m_1^2 + m_2^2 + 2g^2 + 2\sqrt{m_1^2 + g^2} \cdot \sqrt{m_2^2 + g^2})$$

$$(E^2 - m_1^2 - m_2^2 - 2g^2)^2 = 4(m_1^2 + g^2)(m_2^2 + g^2)$$

$$\begin{aligned} E^4 + m_1^4 + m_2^4 + 4g^4 - 2E^2m_1^2 - 2E^2m_2^2 - 4E^2g^2 + 2m_1^2m_2^2 + 4m_1^2g^2 + 4m_2^2g^2 \\ = 4m_1^2m_2^2 + 4g^2g^2 + 4g^2g^2 + 4g^2g^2 \end{aligned}$$

diese Gleichung nach g^2 auflösen

Können und soll $E_A + E_B = \sqrt{s}$ in CNS verwenden

$$\frac{d\sigma_{2 \rightarrow 2}}{d\Omega} = \frac{1}{(8\pi)^2} \frac{1}{|\vec{q}_1| \sqrt{s}} \int_{m_1+m_2}^{\infty} \frac{dE}{E} g(E) |M|^2(|\vec{q}_1|, s(E), \cos\theta) \cdot \delta(E - \sqrt{s})$$

Deltafkt. sorgt nur für $\sqrt{s} > m_1 + m_2$ zw!

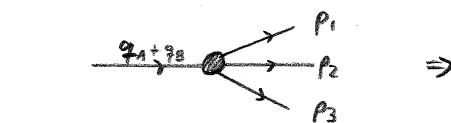
$$= \frac{1}{(8\pi)^2} \frac{1}{|\vec{q}_1| \sqrt{s}} \frac{1}{\sqrt{s}} g(\sqrt{s}) |M|^2(|\vec{q}_1|, s(\sqrt{s}), \cos\theta) \cdot \Theta(\sqrt{s} - m_1 - m_2)$$

aber $g = |\vec{p}_1|$, s.o., so dass $g(\sqrt{s})$ das durch E -p-Erhaltung fixierte $|\vec{p}_1|$ ist

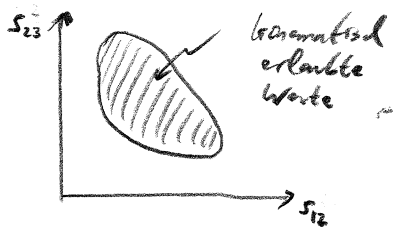
$$= \frac{1}{(8\pi)^2} \frac{|\vec{p}_1|}{|\vec{q}_1|} \frac{|M|^2(|\vec{q}_1|, |\vec{p}_1|, \cos\theta)}{(E_A + E_B)^2}$$

- Bem.:
- Tonnen für 2 → 2 Streuung also Phasorraumintegration ohne explizite Kenntnis von $|M|^2$ ausführen!
 - im Allgemeinen gilt das welt bei 2 → $n > 2$
 - habe es in CNS gearbeitet, und $\frac{d\sigma}{d\Omega}$ durch Variablen in diesem System ausgedrückt.
 - manchmal benützen: Lorentz-invariante Variablen
 $L\text{-mv: } m_1, m_2, m_1, m_2 ; \frac{\text{Mandelstam-Variablen}}{\text{C s. Übung, Aufgabe 21}}$ $\begin{cases} s := (q_1 + q_2)^2 \\ t := (q_1 - p_1)^2 \\ u := (q_1 - p_2)^2 \end{cases}$

- bei $2 \rightarrow n > 2$ Streuung ist die Kinetik etwas komplizierter, z.B.



$$\left. \begin{aligned} s_{12} &:= (p_1 + p_2)^2 \\ s_{13} &:= (p_1 + p_3)^2 \\ s_{23} &:= (p_2 + p_3)^2 \end{aligned} \right\} \begin{aligned} s_{12} + s_{13} + s_{23} &= \\ &= (q_1 + q_2)^2 + p_1^2 + p_2^2 + p_3^2 \\ &\approx s + m_1^2 + m_2^2 + m_3^2 = \text{const} \\ &\leadsto \text{zwar genug!} \end{aligned}$$



"Dalitz-Plot": stellt die erlaubte Region dar.
Jeder Punkt $\hat{\in}$ einer Geometrie des Endzustandes

- eine tiefergehende Behandlung der Phasoraumintegrierung ist z.B. in [Fayyazuddin / Riazuddin, "Problems Intro. to Particle Phys.", s. 3-body phase space]

jetzt fehlt uns nur noch eine Methode, um M/M^2 zu berechnen!
das geht am besten mit "Feynman-Diagrammen", die graphisch sehr anschaulich sind, und soll daher als eine "Sprache" in der Teilchenphysik durchgesetzt werden.

3.3 Feynman-Regeln

$\hat{\equiv}$ Algorithmus zur Berechnung der Amplitude M in quantenfeldtheoretischen Prozessen

mathematischen Ausdrücken werden graphische Bausteine zugewandt

① externe Linien

werden durch ihren Vierimpuls bezeichnet

Spin $\frac{1}{2}$ -Teilchen: zusätzlich Helizität s

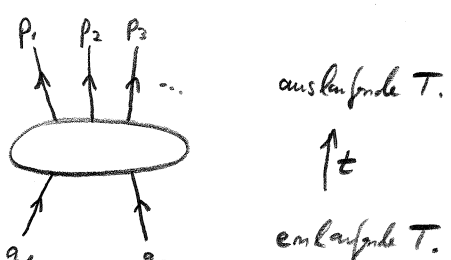
Spin 1-Teilchen: zusätzlich Polarisation λ

$\rightarrow p$ --- Spin-0-T., Vierimpuls $p \Rightarrow \delta M = 1$

$\rightarrow p, \lambda$ Spin-1-T. (Photon) $\Rightarrow \delta M = \varepsilon_{(\lambda)}^\mu(\vec{p})$

$\rightarrow p, s$ Spin- $\frac{1}{2}$ -T. (Elektron) $\Rightarrow \delta M = u(\vec{p}, s)$, $\delta M = \bar{u}(\vec{p}, s)$
emlaufend auslaufend

$\rightarrow p, s$ Spin- $\frac{1}{2}$ -Antit. (Positron) $\Rightarrow \delta M = \bar{v}(\vec{p}, s)$, $\delta M = v(\vec{p}, s)$



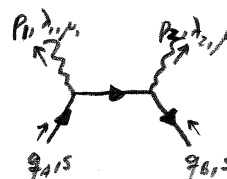
\not{p}

emlaufende T.

\not{q}

auslaufende T.

$$\text{Bsp: } e^-(q_{1,s}) + e^+(q_{2,s}) \rightarrow \bar{\nu}(p_1, \lambda_1, p_1) + \bar{\nu}(p_2, \lambda_2, p_2)$$



Te

② Vertices: sind durch δV in $A = \hat{A}_0 + gV$ bestimmt.

genauer: im Zeitentwicklungs-Operator kommt $-i\int dt' \delta V(t')$ vor.

im Lagrange-Formalismus ist das $+i\int dt' \int d^3x \hat{L}_I$

mit Lagrange-Dichte \hat{L}_I (= Polynom in Feldoperatoren)

allgemein: $\hat{L}_I = \delta_{ijk} \hat{\phi}_i \hat{\phi}_j \hat{\phi}_k + \delta_{ijk\ell} \hat{\phi}_i \hat{\phi}_j \hat{\phi}_k \hat{\phi}_\ell + \dots$

wir schreiben (malen) 3-er Vertex $\Rightarrow \delta M = i \delta_{ijk}$

4-er Vertex $\Rightarrow \delta M = i \delta_{ijkl}$

usw.

③ interne Linien: falls ein Feynman-Diagramm (...) innere Linie hat, entspricht jede dieser Linien einem "Propagator".

Dieser hängt von Impuls/Masse/Art des Teilchens ab, hat aber keinen Spin- bzw. Polarisations-Zustand: es ist über alle Möglichkeiten summiert.

$$-\rightarrow p - \quad \Leftrightarrow \quad \delta M = \frac{i}{p^2 - m^2}$$

$$\overrightarrow{p_{\mu\nu\rho}} \quad \Leftrightarrow \quad \delta M = \frac{i}{p^2} (-g_{\mu\nu})$$

$$\begin{array}{c} \overrightarrow{p} \\ \overrightarrow{p} \end{array} \quad \Leftrightarrow \quad \delta M = \frac{i}{p^2 - m^2} (\not{p} + m) \quad \begin{array}{l} \text{= Vollständigkeitsrelation} \\ \text{vgl. Skript S. 21} \end{array}$$

((Herleitung: die genauen Ausdrücke für Propagatoren folgen aus \hat{A}_0))

④ E-p-Erhaltung: an jedem Vertex muss der Viervektor erhalten sein

⑤ interne Impulse werden per $\int \frac{d^4 p}{(2\pi)^4}$ überintegriert

⑥ Antisymmetrisierung: (-1) für jede geschlossene Fermion-Schleife.

(-1) zwischen Diagrammen, die nur durch Austausch von zwei externen Fermionen unterscheiden.

⑦ Gesamtphase: alles mit (+i) multiplizieren ((für $|M|^2$ egal))